

ИССЛЕДОВАНИЕ ИНФРАКРАСНОГО ИЗЛУЧЕНИЯ АТМОСФЕРЫ ЗЕМЛИ  
С ПОМОЩЬЮ БОРТОВОГО ФУРЬЕ-СПЕКТРОМЕТРА С ГЕОФИЗИЧЕСКИХ  
АЭРОСТАТОВ

В. В. Ильин, А. В. Карташев, С. Г. Кукин, М. Н. Чепуха

УДК 551.521.

Впервые получены спектры уходящего излучения атмосферы Земли в широкой области  $170 \text{ см}^{-1}$  -  $710 \text{ см}^{-1}$ , включаящей вращательную полосу поглощения  $\text{H}_2\text{O}$  ( $170 \text{ см}^{-1}$  -  $420 \text{ см}^{-1}$ ), в зимних и летних условиях с разрешением до  $2,5 \text{ см}^{-1}$  и средней ошибкой  $1 - 2 \cdot 10^{-7} \text{ вт.см}^{-1} \text{ стерад}^{-1}$ . Измерения проводились при помощи бортового фурье-спектрометра БФС-2 ФНАИ с высоты до 33 км.

В течение ряда лет большое внимание в связи с развитием космической метеорологии привлекает проблема спектрального состава теплового излучения Земли в инфракрасной области спектра. В 1962 г. впервые был опубликован спектр в диапазоне 5-15 мкм, полученный прибором, имеющим разрешающую силу  $\sim 40$  со спутника /1/. Далее диапазон был расширен до 38 мкм, но уже с меньшей разрешающей силой ( $\sim 20$ ) /2/. Развитие фурье-спектроскопии позволяет еще более расширить диапазон и увеличить разрешение. Применив этот метод, нам удалось зарегистрировать спектр излучения Земли в диапазоне 10-60 мкм с разрешающей силой до 300. Этот диапазон включает в себя полосы  $\text{CO}_2$  и  $\text{H}_2\text{O}$ . Наиболее важной особенностью его является излучение вращательной полосы воды, изучение которой требует разрешения не более  $5 - 10 \text{ см}^{-1}$  и, по-существу, проведено в дымной работе впервые.

В 1968 г. нами было предложено использовать вращательную полосу воды для восстановления высотного профиля влажности в атмосфере, отмечены важные преимущества этой полосы по сравнению с общепринятой вращательно-колебательной полосой 6,3

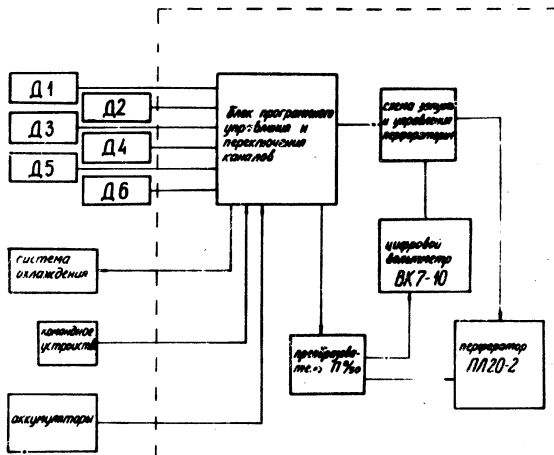


Рис. I. Блок-схема аэростатного комплекса.

жки (слабая зависимость от температуры и т.д.) и разработан Фурье-спектрометр для регистрации спектра в данном диапазоне /3/.

Для опробования метода было решено проводить измерения с аэростатов ( $H \approx 30$  км), так как основная масса газа атмосферы, участвующая в погодообразующих процессах, для которой существенно знать высотный профиль температуры и влажности, расположена ниже.

Для проведения эксперимента был построен автоматический аэростатный комплекс, включавший в себя в качестве одного из датчиков бортовой Фурье-спектрометр БИОС-2 ФИАН /3,4/, снаженный устройством для калибровки в полете.

Фурье-спектрометр и другие датчики (температуры, давления и т.д.) были включены в общую систему регистрации сигналов, состоящую из следующих основных частей (рис. I): а) программного блока, осуществляющего "опрос" датчиков (каналов) по задан-

ной программе, б) цифрового вольтметра ВК7-10 для преобразования аналог-код, в) перфоратора ПЛ-20-2 с блоком запуска и управления для формирования стартовых импульсов на перфоратор, а также преобразования параллельного кода на выходе цифрового вольтметра в последовательный и усиления кодовых импульсов. При записи на восьмидорожечную перфоленту динамический диапазон регистратора равен 1000 в каждом канале при частоте замера 10 Гц.

Автоматическое включение и выключение аппаратуры осуществлялось командным устройством с двумя барореле, задублированными временным механизмом.

Имитация нулевого сигнала при каждом периоде модуляции осуществлялась полостью черного тела, охлаждаемого жидким азотом. Калибровка производилась от второго черного тела ( $T \sim -260^{\circ}\text{K}$ ; температура измерялась с точностью  $\sim 0,1^{\circ}$ ), изучение которого направлялось на вход прибора и регистрировалось периодически после записи пары интерферограмм атмосферы. Охлаждение до температуры  $77^{\circ}\text{K}$  осуществлялось изолированной от внешней среды криогенной системой, где циркулировал жидкий азот.

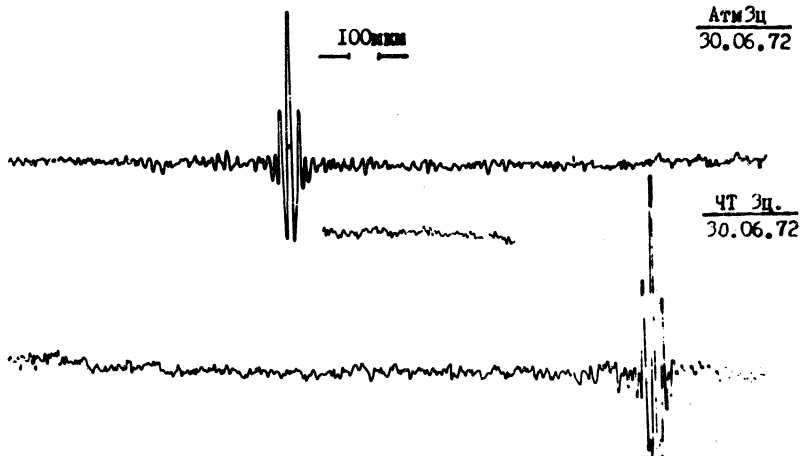
Испытания всего комплекса, а также регулировка подачи жидкого азота проводились в термобарокамере в условиях, близких к полетным.

Представляло интерес получить данные в разные сезоны. Поэтому первый полет аппаратуры был осуществлен утром 25 января 1972 года (время пребывания на максимальной высоте 33 км – I час 30 минут, малая облачность), второй полет проходил южью 30 июня 1972 года (время работы аппаратуры на максимальной высоте 29 км – 7 часов 30 минут, практически безоблачно). Оба полета проводились в средних широтах Европейской части ССР.

Интервал между последовательными включениями Фурье-спектрометра в первом полете составлял 34 минуты, во втором – I час 10 минут. Кроме того, во втором полете была повышена в 10 раз точность регистрации интерферограммы и соответственно увеличено время ее записи от 2 до 20 минут.

В результате двух полетов было зарегистрировано 6 интерферограмм излучения атмосферы. На рисунке 2 показана пара типичных интерферограмм, полученных в третьем цикле работы Фурье-

спектрометра в летнем полете. Каждой интерферограмме соответствует общее перемещение подвижного зеркала интерферометра на 1,5 мм (3 мм по разности хода). Интервал между замерами равен 2 мкм по разности хода.



Р и с. 2. Интерферограммы излучения атмосферы (вверху) и калибровочного черного тела с температурой 268°К (внизу), полученные в одном из циклов работы Фурье-спектрометра 30 июня 1972 г.

Так как в эксперименте не производилось отметки нулевой разности хода, при обработке осуществлялось комплексное Фурье-преобразование двухсторонней интерферограммы. Сначала вычислялся фазовый спектр по формуле,

$$\varphi(\sigma) = \arctg \frac{m_1(\sigma)}{m_2(\sigma)},$$

где  $m_1$  и  $m_2$  - действительная и минимая части комплексного интеграла Фурье,  $\sigma$  - частота излучения в  $\text{см}^{-1}$ . Затем вычислялся спектр по формуле

$$B(\sigma) = m_2(\sigma)\cos\varphi(\sigma) + m_1(\sigma)\sin\varphi(\sigma).$$

Такая операция в отличие от обычной, когда спектр вычислялся как корень квадратный из суммы  $(m_1^2 + m_2^2)$ , сохраняет информацию о величине и знаке шума за пределами спектральной област-

ти. Аподизация производилась умножением интерферограммы на сглаживающую функцию в виде треугольника. Обработка результатов экспериментов производилась на машине М-220. Интерферограммы вводились в машину с перфолент, полученных в полетах.

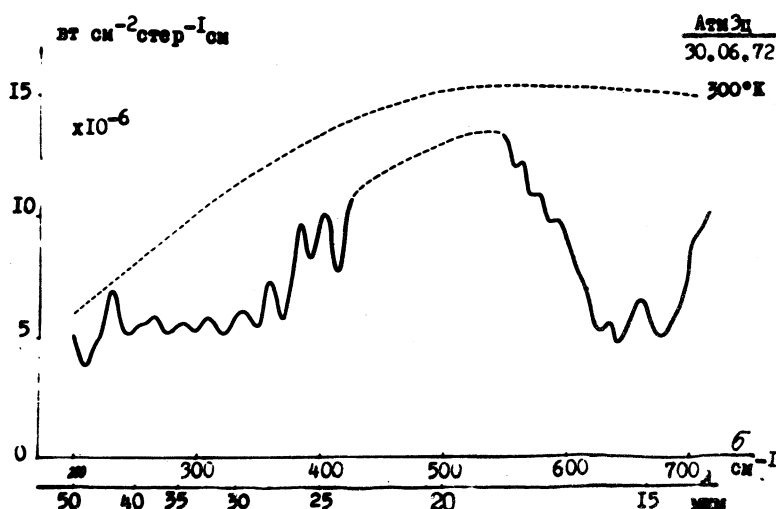
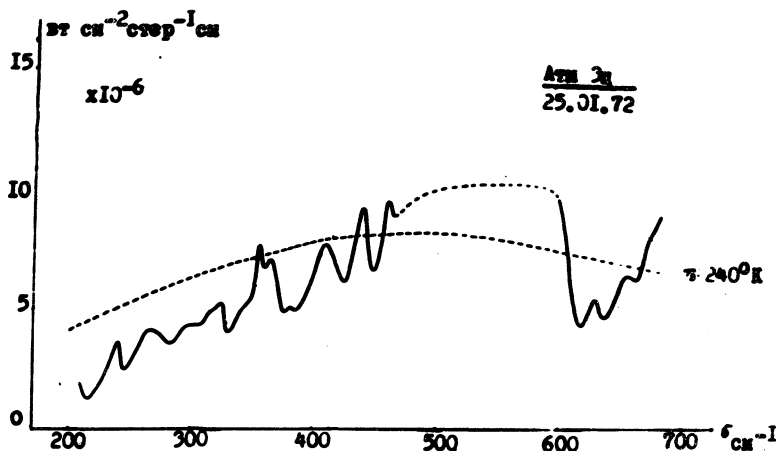
На рис. 3 вверху показан спектр излучения атмосферы, полученный в первом полете, внизу - во втором. Пунктир - спектры излучения черного тела при температуре приземного слоя воздуха. Спектры в абсолютных единицах получены из отношения интенсивностей спектра атмосферы и спектра калибровочного черного тела. Разрешение в спектрах (с учетом аподизации) составляет для летнего полета  $10 \text{ см}^{-1}$ , для зимнего  $15 \text{ см}^{-1}$ . Среднеквадратичный шум в зимнем спектре составляет  $2 \cdot 10^{-7} \text{ вт}/\text{см}^2 \cdot \text{стер.см}^{-1}$ , в летнем -  $10^{-7} \text{ вт}/\text{см}^2 \cdot \text{стер.см}^{-1}$ . Отображение длинноволновой части спектра с лабораторным вращательным спектром поглощения водяного пара /5/ показывает хорошее соответствие. Максимальное разрешение, достигнутое в полете, составляет  $2,5 \text{ см}^{-1}$ .

При анализе полученных данных естественно учитывать сведения о состоянии атмосферы, которые имеются в нашем распоряжении из пусков радиозондов в районе полета.

Количественное сравнение будет сделано после решения обратной задачи, однако уже сейчас можно сделать качественный анализ.

В диапазоне  $570 - 640 \text{ см}^{-1}$  интенсивность в спектре монотонно падает (аналогичное падение интенсивности наблюдается на частотах  $710 - 690 \text{ см}^{-1}$ ), так как в излучении доминируют все более и более высокие слои тропосфера, где температура уменьшается с высотой. На частоте  $645 \text{ см}^{-1}$  наблюдается минимум, так как основной вклад в излучение на этой частоте вносит верхняя тропосфера и тропопауза ( $H \sim 11 \text{ км}$ ) с минимальной температурой  $220^{\circ}\text{K}$ . При приближении к максимуму поглощения  $\text{CO}_2$  основной вклад в излучение начинает вносить стратосфера, где температура растет с высотой (инверсия температуры). На частоте  $670 \text{ см}^{-1}$  (максимум) в основном излучают слой на высоте  $30 \text{ км}$  с температурой  $235^{\circ}\text{K}$ .

В полосе поглощения воды ( $170 - 420 \text{ см}^{-1}$ ) наблюдается существенное различие в ходе летних и зимних спектров. В последних интенсивность в максимуме и на крыле полосы меньше, что



Р и с. 3. Спектры излучения атмосферы, полученные в зимнем (вверху) и летнем (внизу) полетах.

объясняется более низкой температурой атмосферы зимой на высотах 0 - 10 км и 17 - 30 км.

В результате работы можно сделать следующие выводы:

I. Получены спектры восходящего излучения атмосферы Земли с высоты 29 - 33 км в областях поглощения  $\text{CO}_2$  570 - 710  $\text{см}^{-1}$  и  $\text{H}_2\text{O}$  170 - 420  $\text{см}^{-1}$  в зимних и летних условиях. Решение в спектрах от 2,5 до 15  $\text{см}^{-1}$ , а средняя ошибка заключена в пределах  $(1 - 2) \cdot 10^{-7} \text{ вт}/\text{см}^2 \text{ стерад. см}^{-1}$ . Спектры в области вращательной полосы  $\text{H}_2\text{O}$  получены впервые.

2. Разработан и опробован в двух полетах автоматический измерительный аэростатный комплекс, включающий бортовой инфракрасный Фурье-спектрометр, работающий в области спектра 10 - 60 мкм.

В заключение авторы считают своим долгом выразить искреннюю благодарность Л. П. Константиновой и А. М. Никишиной за помощь в обработке материалов эксперимента.

Поступила в редакцию  
9 января 1973 г.

#### Л и т е р а т у р а

1. В. Block, A. Zachor. Appl. Opt., 2, 200 (1964).
2. А. И. Лебединский и др. Сб. "Исследование космического пространства", стр. 65. изд-во "Наука", 1965 г.
3. М. Н. Марков, В. И. Веденников, В. В. Иванов, А. В. Карташев, В. С. Петров. Препринт ФИАН № 189, 1969 г.
4. М. Н. Марков, В. И. Веденников, В. В. Иванов, А. В. Карташев. Приборы и техника эксперимента, № 5, 169 (1970).
5. C. N. Palmer. Journ. Opt. Soc. of Amer., 47, 1024 (1957).